

日本大学工学部 学生員 鈴ヶ谷 敏若
 日本大学工学部 正員 木村 喜代治
 日本大学工学部 正員 長林 久夫

1. はじめに セキが完全に堆砂し流量と流砂量が一定の動的安定状態にある場合、セキ直上流部には深掘れが生じそれより上流ではほぼ砂の安息角程度の急勾配で河床まで達し、更に等流状態に応じた勾配で上流に達することが知られている。^{①②} この深掘れはセキ直前の時間的に強度の変化する不規則な砂の巻き上げにより生じたものであり、斜面形状はほぼ一定の形状を示している。本実験は砂の巻き上げと深掘れ深さの関係について検討を行なうものであり、今回円筒水池内の主流の流速、乱流強度、レイノルズ応力の計測を行なった。実験装置は、水路幅10cmの長方形開水路の下流端に幅10cmの凹欠を有する模型を設置して(図1参照)、堆砂面形状が安定した後にセメントミルフ及び樹脂コティシング剤によって固定床としたものを用いた。流速はプロペラ流速計を、また乱流強度はホットフィルム流速計によつて測定した。座標はセキ模型を原点として上流に向かってY軸、X軸、セキの凹欠を原点として上に向かってY軸、水路側壁より中央に向かってZ軸とし、それぞれの方向の平均流速をU、V、W、変動成分(U、V、W)をそれぞれu、v、wとした。

2. 実験結果及び考察 図2は円筒水池内の主流の平均流速の分布を示したものである。水路中央のセキ付近($Z=15.0\text{ cm}$ $X=3.4\text{ cm}$)ではセキから放出される直前の加速域で流速の速い所が深い位置まで達しており、セキ袖部のセキ付近($Z=5.5\text{ cm}$, $X=3.4\text{ cm}$)ではセキに衝突したために最大流速が遅くなっていることがわかる。他の他の測線は水路中央、セキ袖部共に水面付近で 45 cm/s 程度の最大流速を示し、水深が深くなると共に流速が遅くなっている。この流速分布と2次元自由噴流の流速の比較検討を行なつたのが図3である。横軸は最大流速位置からY軸方向の距離 y/b を流速が半分になるまでの距離で除して無次元化したものであり、縦軸は加速 U/U_m を各測線の最大流速 U_m で除して無次元化したものである。図中の実線は2次元自由噴流の理論曲線(Tollmienの解)^③を示したものである。

点線は噴流出口での分布を示したものであり、破線はForthmannの実験結果(flow development region, 図6の領域Z)を示したものである。ここで $y/b=0$ から1まで、つまり流速が最大流速の半分になるまでの領域を領域A、 y/b が1以上の領域を領域Bとする。 $Z=15.0\text{ cm}$ (水路中央)の上流域($X=2.1\text{ cm} \sim 9.4\text{ cm}$)の領域での流速は、破線付近又はそれより高速の流れを持つ分布を示す。

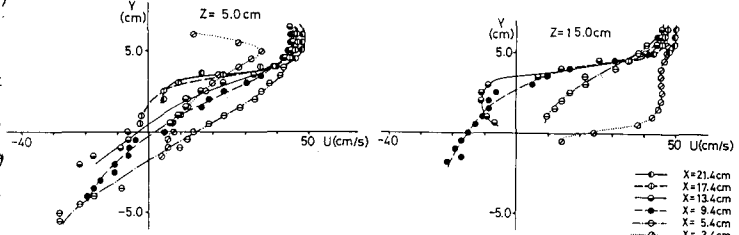


図-2 流速分布図

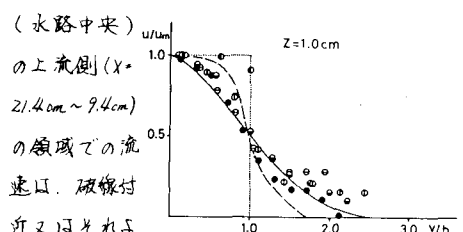


図-3 流速分布の2次元自由噴流との比較検討

ている。斜面中腹($X=7.4\text{cm} \sim 3.4\text{cm}$)の領域Aでは噴流の理論曲線にのっており(図-6の領域3),一方領域Bでのこの地点の分布は理論曲線から U/U_m が大きな値にずれており、底面付近に図-4(a)に示す様な乱流強度の大きい領域が存在している。(図-6の領域5) またせきの近く近く($X=1.4\text{cm}$)では再び領域Aで速い流速分布を示しており、せき放出部直前の加速域であることを示している。 $Z=9.0\text{cm}$ (せき穴切き付近)及び $Z=1.0\text{cm}$ (側壁近くの領域)にも同様に、領域Aで流速が速い分布を示すもの、理論曲線に沿って分布するもの、領域Bにおいて理論曲線から外れてゆくものの3種が見られ、せきの直前部での加速域は見られない。図-4は貯水池内の乱流強度の分布を示したものである。鉛直方向の分布(図-4a)においては、斜面上流側($X=7.0\text{cm} \sim 15.0\text{cm}$)については水面付近に強い乱流強度及びレイノルズ応力(図-5)を示しており、噴流の効果を示していると考えられる。また、 $X=7.0\text{cm}$ よりせき側では底面付近に強い乱流強度及びレイノルズ応力を示しており、底面近くの乱れた領域であると考えられる。水路横断方向及び流下方向の分布(図-4b 及び図-4c)をみると、斜面中央 $Z=7.0\text{cm}$ の水面付近では水路中央付近及び側壁近くで乱流強度の大きい部分がみられ、底面に向かい乱流強度のピークは側壁付近より中央へ移動しだすと増大している。図-7の平面図に示す様に、せき直部より中央に向かい砂を輸送する流れが存在し、中央に向かい次第に深い位置となり強度が増加している。また、水路中央では両側からの流れがぶつかり生じた時間的に場所によって強度の変化する三次元性の強い渦が存在することが考えられる。せき近くの $X=3.4\text{cm}$ については、 $Y=-2.0\text{cm}$ で $Z=10 \sim 15\text{cm}$ 及び $Y=4\text{cm}$ で $Z=2\text{cm}$ 付近に乱流強度の大きい部分がみられる。水路中央ではせき直前に砂の巻き上げる流れがあり、水路隅角には水面付近に死水域による渦が生じている。図-6は貯水池内の区分を流速分布を考慮して行ったものである。

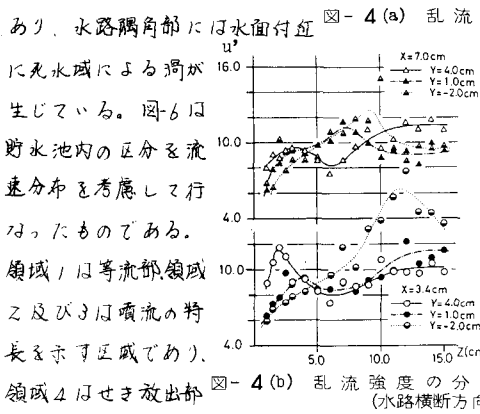


図-5 レイノルズ応力の分布

図-4(b) 亂流強度の分布(水路横断方向)

図-4(c) 亂流強度の分布(流下方向)

領域4はせき放出部直前の加速域を示している。領域5は底面付近の乱れた領域が存在し、砂の輸送やせきからの放出を行なっているところである。

参考文献

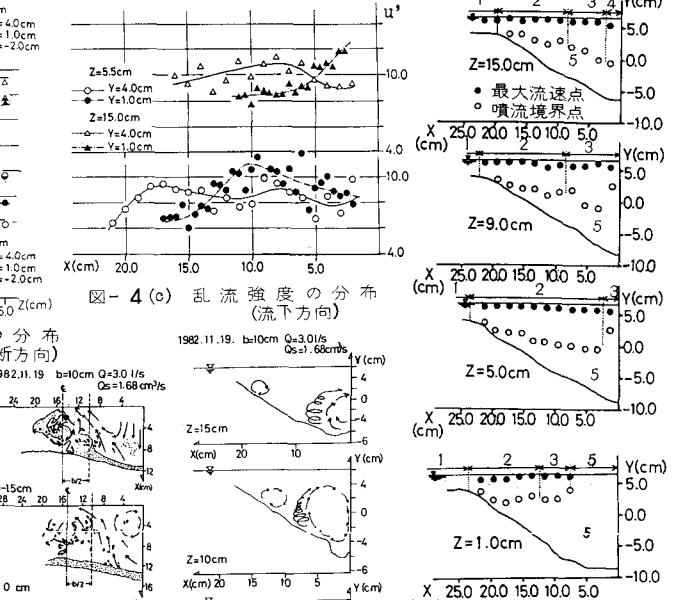
①木村・ダム調節作用に関する実験

土木学会年譲(昭和41年4月)

②木村・案津「ダムの堆砂に関する実験」

土木学会年譲(昭和43年4月)

③N.Rajaratnam著、野村耕記訳 噴流 第2次元自由噴流(豪文出版、1981年)



1. 等流部
2. flow development region
3. fully developed flow region
4. セキ近傍領域
5. 亂れの生成領域

図-7 渦の分布状況